

توسعه رویکردی کاربردی تحلیل لرزاها احتمالاتی پلهای ترکهای با در نظر گیری همزمان دقت و حجم محاسبات

وحید آخوندزاده نوqابی^{۱*}، خسرو برگی^۲

۱- دکتری مهندسی زلزله - دانشکده مهندسی عمران، دانشکدگان فنی، دانشگاه تهران

۲- استاد - دانشکده مهندسی عمران، دانشکدگان فنی، دانشگاه تهران

akhoondzade@ut.ac.ir

تاریخ دریافت: ۱۴۰۱/۰۸/۲۵ | تاریخ پذیرش: ۱۴۰۱/۱۲/۱۰

چکیده

روش‌های مختلف تحلیل لرزاها عموماً شامل تحلیل دینامیکی فزاینده، تحلیل تاریخچه زمانی و تحلیل پوش‌اور استاتیکی هستند که به همین ترتیب دارای روند کاهشی در حجم محاسبات و دقت محاسبه پاسخ‌های لرزاها هستند. در علم مهندسی سازه و زلزله مسائل در برگیرنده تحلیل‌های لرزاها احتمالاتی از قبیل ارزیابی شکنندگی لرزاها نیازمند تکرار زیاد آنالیزهای لرزاها زمانی روی مدل اجزای محدود هستند. این موضوع به لحاظ افزایش چشمگیر حجم محاسبات به ویژه در مورد سازه‌های بزرگ - مقایسه مشابه پلهای ترکهای به عنوان مانع بزرگ برای کارایی محاسباتی فرآیند حل مسئله بشمار می‌رود. بنابراین در این مقاله سعی خواهد شد به توسعه و مناسبسازی رویکرد روش پوش‌اور استاتیکی با رفتار لرزاها پل ترکهای پرداخته شود به شکلی که تمام مدهای رفتاری خطی و غیرخطی با اهمیت، برای ثبت پاسخ‌های لرزاها در نقطه عملکرد سازه، مدنظر قرار گیرد. بدین ترتیب رویکرد مذکور و همچنین سایر رویکردهای دقیق‌تر موجود شامل تحلیل دینامیکی فزاینده و تحلیل تاریخچه زمانی، ضمن درنظرگرفتن عدم قطعیت موجود در پارامترهای سازه‌ای و لرزاها، در راستای تخمین توزیع احتمالاتی چهار پاسخ لرزاها با اهمیت در سه نمونه پل ترکهای موجود در ایران بکار بسته می‌شوند. سپس برای اعتبار سنجی رویکرد پیشنهادی فوق الذکر تحت عنوان روش پوش‌اور استاتیکی توسعه یافته، توجیه کامل خطاها نسبتاً اندک موجود در پاسخ‌های این روش با ذکر دلائل و جزئیات کافی صورت خواهد پذیرفت تا کارایی محاسباتی آن در ارزیابی رفتار لرزاها پل ترکهای تبیین شود. در گام بعدی منحنی‌های شکنندگی لرزاها مربوط به اعضای مختلف پلهای مورد مطالعه بعنوان ماحصل نهایی آنالیز لرزاها احتمالاتی تولید می‌شوند. برای جامعیت راستی‌آزمایی و در راستای توصیه روش پوش‌اور استاتیکی توسعه یافته در مورد پلهای ترکهای، ارتباط بین دقت روش‌ها در تخمین پاسخ‌های لرزاها و شکنندگی لرزاها نیز مورد بحث واقع خواهد شد. در انتها و پس از مقایسه نتایج و حجم محاسبات روش‌های مختلف، این تحقیق نشان می‌دهد رویکرد پیشنهادی در تخمین تقاضا و شکنندگی لرزاها پل ترکهای از دقت بسیار خوبی برخوردار بوده و در عین حال منجر به کاهش چشمگیر حجم محاسبات نسبت به روش‌های موجود نیز شده است.

واژگان کلیدی: تحلیل لرزاها احتمالاتی، عدم قطعیت رکوردها، روش پوش‌اور استاتیکی توسعه یافته، پل ترکهای، شکنندگی لرزاها

۱- مقدمه
می‌شود که فرآیند ارزیابی شکنندگی لرزاها بخش مهمی از آن

به شمار می‌رود. کمی‌سازی عدم قطعیت به عنوان یک موضوع چالش‌برانگیز در این فرآیند باید به منظور بهبود کارایی

امروزه ارزیابی خطرپذیری لرزاها به عنوان یکی از بحث‌انگیزترین زمینه‌های تحقیقاتی در مهندسی زلزله شناخته

تحلیل لرزه‌ای با در نظر گیری عدم قطعیت‌های مختلف هستند (مثل ارزیابی شکنندگی لرزه‌ای سازه‌ها یا بهینه سازی مبتنی بر قابلیت اعتماد) تکرارهای بیشمار تحلیل لرزه‌ای زمانی بر یک مانع محاسباتی بزرگ محسوب می‌شود. به عنوان تولید فرآمدل‌های جایگزین آنالیزهای اجزای محدود زمانی، از قبیل مدل‌های روبه پاسخ، شبکه عصبی مصنوعی و ماشین بردار پشتیبان یکی از زمینه‌های تحقیقاتی ای است که دقیقا در همین زمینه تلاش می‌کند. بنابراین در راستای بالا بردن کارایی محاسباتی آنالیزهای لرزه‌ای ضرورت دارد به بهبود و متناسب‌سازی رویکرد روش‌های با حجم محاسباتی کمتر پرداخته به نحوی که بتوان تا حد امکان دقت آنها را به روش‌های پیچیده موجود نزدیک نمود. از سوی دیگر نیز اگرچه فرآیند ارزیابی لرزه‌ای پل‌های ترکه‌ای در مطالعات مختلف به کار گرفته شده، اما تحلیل‌های لرزه‌ای زمانی این نوع پیچیده از سازه پل، ارائه رویکردی با هزینه محاسباتی کمتر و در عین حال دقت کافی را ضروری می‌سازد [6].

در این تحقیق انتخاب روش نمونه‌گیری برای در نظر گرفتن عدم قطعیت پارامترهای سازه‌ای چندان مورد بحث نبوده و عدم قطعیت در رکورد زلزله که نیازمند بهره‌گیری از یکی از روش‌های تحلیل لرزه‌ای برای اعمال رکوردها است، چالش اصل پیش رو است. در این زمینه و در مرور ادبیات فنی مرتبط با ارزیابی شکنندگی لرزه‌ای پل‌ها، IDA توسط مرجع [2]، THA توسط [3] و CSM توسط [4] استفاده شده است. همچنین محققین زیادی روش‌های پیشنهادی خود را که همراه با کاهش IDA هزینه محاسباتی بوده‌اند به عنوان جایگزینی مناسب برای ارائه و اعتبارسنجی کرده‌اند شامل: روش تحلیل پوش‌اور افزاینده برای پل‌های بتن آرمه‌ی بزرگ‌راهی در مرجع [5]، روش زمان-دوم برای پل‌های ترکه‌ای در [6]، روش زمان-دوم بهبودیافته برای پل‌های با پایه عمیق در آب در [7]، و پوش‌اور سیکلیک برای پل‌های دارای انحصار صفحه در [4]. در این راستا، استفاده از CSM متشكل از تحلیل پوش‌اور استاتیکی علیرغم فرضیات ساده‌شونده موجود در آن در مطالعات مربوط به

محاسباتی آن مورد توجه قرار گیرد. اصطلاح "کمی‌سازی عدم قطعیت" در پژوهش حاضر به چگونگی در نظر گرفتن عدم قطعیت‌های مربوط به رفتار لرزه‌ای در هرگونه مسئله مهندسی سازه و زلزله که شامل تحلیل‌های لرزه‌ای در فرم احتمالاتی باشد، اشاره دارد. عدم قطعیت فوق‌الذکر بیشتر به دو دسته عدم قطعیت در پارامترهای وابسته به رفتار سازه‌ای از قبیل پارامترهای مکانیکی صالح و یا پارامترهای هندسی مقاطع، و همچنین پارامترهای وابسته به تحريك لرزه‌ای از قبیل شتاب رکورد، فرکانس غالب رکورد و خلاصه تنوع رکورد اعمال شده به سازه تقسیم می‌شوند.

بر اساس مرور ادبیات فنی موجود در زمینه تحلیل قابلیت اعتماد سازه‌ها از قبیل [1]، برای در نظر گرفتن عدم قطعیت موجود در پارامترهای سازه‌ای از روش‌های مبتنی بر شبیه‌سازی شامل نمونه‌داری به روش‌های مونت کارلو^۱، لاتین هایپرکیوب^۲، و یا طراحی یکنواخت^۳ استفاده می‌شود. از سوی دیگر عدم قطعیت ذاتی در تحريك لرزه‌ای تحت عنوان عدم قطعیت رکورد به رکورد زلزله، بیشتر با استفاده از اعمال رکوردهای متنوع متناسب با لرزه‌خیزی منطقه مورد مطالعه به سازه، از طریق یکی از روش‌های رایج تحلیل لرزه‌ای در نظر گرفته می‌شود. رایج ترین روش‌های تحلیل لرزه‌ای شامل تحلیل دینامیکی فزاینده^۴ به عنوان زمانبرترین و دقیق ترین روش، تحلیل تاریخچه زمانی^۵ به عنوان پرکاربردترین، و روش طیف ظرفیت^۶ شامل تحلیل پوش‌اور استاتیکی به عنوان سریع‌ترین روش، می‌باشد. چالش انتخاب بین روش‌های مختلف فوق‌الذکر، چه برای نمونه‌گیری و چه برای تحلیل لرزه‌ای، در این است که حجم محاسبات با دقت روش نسبت مستقیمی دارد. امروزه اگرچه با توسعه سیستم‌های ابررایانشی سرعت محاسبات بسیار افزایش یافته است، اما همواره کاهش تلاش محاسباتی با حفظ دقت یکی از مشکلات چالش برانگیز اصلی مطالعات مهندسی سازه است. زیرا اولاً، ممکن است سیستم‌های ابررایانشی در دسترس همه محققین نباشد. ثانیا در مسائلی از مهندسی سازه و زلزله که در برگیرنده فرم احتمالاتی

4. Incremental Dynamic Analysis (IDA)

5. Time History Analysis (THA)

6. Capacity Spectrum Method (CSM)

1. Monte carlo sampling

2. Latin hypercube sampling

3. Uniform design sampling

قطعیت‌های ممکن) تحت یک رکورد زلزله‌ی مشخص، تعریف نمود. اما در صورتی که ارزیابی لرزه‌ای سازه‌ها در فرم احتمالاتی مدنظر باشد تعریف و فرآیند متفاوتی خواهد داشت که با اهدافی از قبیل ارزیابی شکنندگی لرزه‌ای، ارزیابی خطرپذیری و یا تاب‌آوری لرزه‌ای و یا بهینه‌سازی طراحی سازه‌ها براساس قابلیت اعتماد، در ادبیات فنی مهندسی سازه و زلزله قابل مشاهده هستند. ارزیابی لرزه‌ای احتمالاتی بدین صورت است که عدم قطعیت‌های موجود در مساله تحلیل لرزه‌ای را غالبا در دو دسته عدم قطعیت در پارامترهای سازه‌ای و عدم قطعیت در رکورد زلزله لحاظ می‌نماید. در این حالت در واقع به جای یک پاسخ لرزه‌ای قطعی، برای هر زوج مرتبی از سازه – رکورد که از روش‌های نمونه‌گیری تولید می‌شود یک پاسخ لرزه‌ای حاصل و نهایتاً توزیعی احتمالاتی برای پاسخ‌های لرزه‌ای بدست می‌دهند. این توزیع احتمالاتی تقاضاهای لرزه‌ای در محاسبه مفاهیم نوین موجود در چارچوب مهندسی زلزله براساس عملکرد شامل اندیس قابلیت اعتماد، شکنندگی عضو یا سیستم سازه‌ای، خطرپذیری لرزه‌ای و یا تاب‌آوری لرزه‌ای در ادبیات فنی کاربرد فراوانی دارد. طبق تفاسیر فوق در راستای تولید توزیع احتمالاتی پاسخ‌های لرزه‌ای دو چالش اساسی پیش‌روی حل مساله وجود دارد که شامل در نظرگرفتن عدم قطعیت‌های موجود در پارامترهای سازه‌ای و تحریک لرزه‌ای بوده که به ترتیب توسط روش‌های نمونه‌گیری و اعمال رکورد زلزله از طریق روش‌های آنالیز لرزه‌ای قابل انجام است. در این مقاله روش نمونه‌گیری و تولید زوج مرتب‌های سازه و رکورد مدنظر نبوده و مطابق تحقیقات پیشین نویسنده‌گان [9,10] از نمونه‌گیری براساس طراحی یکنواخت استفاده خواهد شد. اما پس از تولید نمونه‌های سازه‌رکورد، برای اعمال رکورد زلزله به سازه نسبتاً پیچیده پل ترکه‌ای روش پوش‌آور استاتیکی توسعه یافته غیرخطی¹ (DNSP) که برای هماهنگی با رفتار لرزه‌ای و غیرخطی این نوع پل توسعه یافته است، در ادامه ارائه می‌شود. این روش سعی خواهد کرد با وجود حجم محاسباتی کاهاش یافته بتواند دقت کافی را در

رفتار لرزه‌ای پل‌ها از قبیل [4,5,8] به وفور به چشم می‌خورد و توانسته در کاهش حجم محاسبات بسیار موثر عمل نماید. در همین راستا، رویکرد مقاله حاضر شامل متناسب‌سازی تمام جزئیات مورد نیاز برای هماهنگی رویکرد روش پوش‌آور استاتیکی با رفتار لرزه‌ای پل‌های ترکه‌ای به عنوان یک سیستم بزرگ مقیاس و متفاوت از سایر انواع پل خواهد بود. از این پس در این مقاله از این رویکرد بعنوان روش پوش‌آور استاتیکی توسعه یافته غیرخطی¹ یاد خواهد شد که برای اولین بار در این مطالعه برای تحلیل لرزه‌ای احتمالاتی پل ترکه‌ای ضمن مقایسه با روش‌های دینامیکی دقیق‌تر بکار بسته خواهد شد. اعتبار-سنجدی رویکرد پیشنهادی (DNSP) از طریق مقایسه آن با روش‌های دینامیکی دقیق‌تر شامل IDA و THA صورت می‌پذیرد، به گونه‌ای که بتواند تا حد امکان بیشترین دقت و در عین حال کمترین حجم محاسبات را در مقایسه با آنها از خود نشان دهد. قابل ذکر است دقت رویکرد DNSP که قرار است در انتهای این مقاله برای تحلیل لرزه‌ای احتمالاتی پل‌های ترکه‌ای به سایر محققین پیشنهاد شود، در دو مرحله مختلف شامل تبیین دقت در تخمین پاسخ‌های لرزه‌ای و سپس درستی آزمایی آن در ارزیابی شکنندگی لرزه‌ای این سازه مورد مطالعه قرار خواهد گرفت. جزئیات این اعتبار-سنجدی در دو مرحله به تکیک ارائه و ارتباط منطقی بین خطای آنها نیز مورد بحث واقع خواهد شد. همچنین بحث و استدلال‌های کافی برای توجیه خطاها قابل چشم‌پوشی روش پیشنهادی به تکیک برای چهار پاسخ لرزه‌ای در سه نمونه موردی از پل ترکه‌ای ارائه می‌شود. قابل چشم‌پوشی بودن خطاها مذکور نیز پس از ارائه نتایج نسبی مرتبط با حجم محاسباتی رویکرد مذکور در مقایسه با روش‌های موجود، برای خواننده روشن خواهد شد.

۲- فرآیند ارزیابی لرزه‌ای احتمالاتی

تحلیل یا ارزیابی لرزه‌ای سازه‌ها را می‌توان در دو دسته ارزیابی تعیینی یا احتمالاتی دسته‌بندی نمود. ارزیابی لرزه‌ای در فرم رایج تعیینی را می‌توان محاسبه‌ی پاسخ لرزه‌ای قطعی برای یک سازه با مشخصات مکانیکی و هندسی ثابت (صرف نظر از عدم

1. Developed Nonlinear Static Pushover (DNSP)

مقایسه با سایر روش‌های پرکاربرد و البته پیچیده‌تر شامل IDA و THA تامین نماید.

شکل ۱. روش انتخاب مدها و اثر آنها

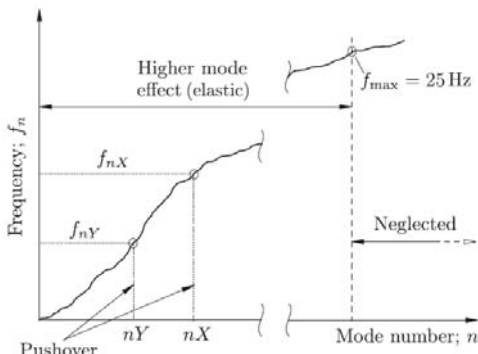


Fig. 1. Mode selection and their effect

شکل ۲. خلاصه رویکرد روش بار افزون استاتیکی غیرخطی توسعه یافته

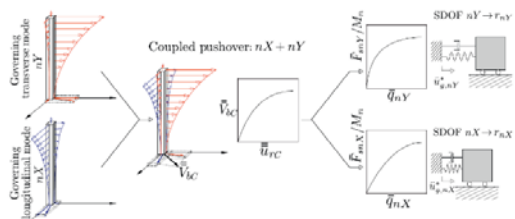


Fig. 2. Summary of DNSP approach

در رویکرد DNSP از سوی دیگر طیف تقاضا که نشان دهنده تاثیر رکورد زلزله بر سازه است، به شکل طیف رکورد در فضای دو بعدی ستاتیکی – پریود برای سازه‌ها قابل تعیین است. اما مبنای روش DNSP، تعیین منحنی‌های تقاضا و ظرفیت در فرم طیف پاسخ ستاتیکی^۳ برای سیستم یک‌درجه آزادی می‌باشد. پرسه کلی تبدیل منحنی‌های تقاضا و ظرفیت به فرم ADRS براساس پیشنهادات [13,14] و با در نظر گرفتن رفتار غیرخطی پل ترکه‌ای قابل انجام است.

فرآیند فوق نهایتاً منجر به تعیین نقطه عملکرد سازه به ازای اعمال هریک از رکوردهای زلزله در دو جهت طولی و عرضی خواهد شد. بدین ترتیب برای هریک از رکوردهای زلزله مد نظر دو نقطه عملکرد در اثر اعمال زلزله عرضی و یا طولی برای سازه بدست خواهد آمد. اما از آن جا که در تحقیق حاضر باید منحنی‌های شکنندگی برای پاسخ اعضای مختلف سازه نیز محاسبه شود، برای آماده‌سازی نتایج تحلیل لرزه‌ای به روش

۱-۱- روشن اور استاتیکی توسعه یافته غیرخطی
در رویکرد پیشنهادی تحقیق حاضر برای تحلیل لرزه‌ای پل‌های ترکه‌ای به روشن اور استاتیکی توسعه یافته غیرخطی (DNSP)، ابتدا باید با استفاده از منحنی ظرفیت در کنار طیف تقاضا نقطه عملکرد سازه در ازای رکورد مربوطه را تعیین کرد. منحنی ظرفیت و طیف تقاضا به ترتیب با استفاده از تحلیل باارفرون و طیف رکورد قابل محاسبه می‌باشند. در گام اول این رویکرد، آنالیز مodal برای تعیین مدهای حاکم انجام شده تا الگوی توزیع بار در دو جهت طولی و عرضی براساس این مدها به شکل جداگانه تعیین شود. پس از آن، مجموع وزن‌دار این الگوها به شکل الگوی بار کوپل برای پوش کردن سازه بدست می‌آید. بدین ترتیب آنالیز بار افزون استاتیکی تنها با انجام یک بار پوش سازه تحت الگوی بار کوپل صورت گرفته، و منحنی‌های مodal ظرفیت براساس پیشنهادات [11,12] در دو مولفه طولی و عرضی حاصل می‌شود. این آنالیز لازم است در کلیه مدهای موثر با فرکانس کمتر از ($f_{max}=25\text{hz}$) انجام شود [11, 12]. برای در نظر گرفتن پاسخ غیراستاتیک برای مدهای با فرکانس کمتر از فرکانس غالب که در این نوع پاسخ موثرند، از یک روش ترکیبی استاندارد تحت عنوان ترکیب چهارگانه‌ی کامل^۱ پاسخ ترکیبی این مدها حاصل می‌شود. نهایتاً پاسخ الاستیک که برای مدهای با فرکانس بین فرکانس غالب و f_{max} محاسبه شده، از طریق روش مجموع حداقل مربعات^۲ با پاسخ غیراستاتیک فوق الذکر ترکیب می‌شود. بدین ترتیب منحنی ظرفیت نهایی به شکل برش پایه در مقابل تغییر مکان نقطه کنترل در دو جهت عرضی و طولی حاصل می‌شود.

برای درک هرچه بیشتر رویکرد DNSP و البته در راستای جلوگیری از طولانی شدن متن به طور خلاصه، در اشکال ۱) و ۲) به ترتیب چگونگی درنظرگیری مدها و خلاصه فرآیند این رویکرد نمایش داده شده است.

3. Acceleration- Displacement Response Spectra (ADRS)

1. Complete Quadratic Combination (CQC)
2. Square Root of the Sum of Squares (SRSS)

تجزیه و تحلیل رگرسیون پاسخ‌های مانیتور شده قابل محاسبه می‌باشد.

۲-۲- رویکردهای آماری مورد استفاده برای اعتبارسنجی روش پیشنهادی DNSP

با توجه به زمان محاسباتی لازم برای آنالیزهای لرزه‌ای به روش DNSP که قطعاً نسبت به روش‌های IDA و THA کمتر خواهد بود، ضروری است پس از کنترل دقت نتایج آن با روش‌های آماری، مجوز استفاده از آن در ادامه فرا آیند صادر شود. بنابراین باید مدل احتمالاتی پاسخ‌های لرزه‌ای مطالعات موردی با استفاده از روش‌های دینامیکی دقیق‌تر نیز برآورده شده و با پاسخ‌های مدل حاصل از روش DNSP مورد مقایسه‌ی آماری قرار گیرند. برای تبیین دقت و اعتبار روش DNSP در تحلیل لرزه‌ای پل ترکه‌ای دو رویکرد آماری وجود دارد که رویکرد اول اعتبار سنجی مدل در رابطه با خوب بودن تخمین مدل پاسخ لرزه‌ای (رابطه EDP-IM) حول نقاط ورودی از پیش تعیین شده آن رکوردهایی هستند که برای آنها روش DNSP انجام و مدل تقاضای لرزه‌ای احتمالاتی (EDP-IM) بر اساس نتایج آن تولید شد. رویکرد اول با استفاده از ضرایب تعیین^۴ R^2 و R_a^2 امکان تخصیص رابطه (EDP-IM) با حداقل خطای را به ورودی‌هایی که با آنها کالایر شده، مورد بررسی قرار می‌دهد. توانایی تخصیص رابطه نمایی دو پارامتری به پاسخ‌های حاصله برای ارزیابی‌های لرزه‌ای بعدی از قبیل تحلیل شکنندگی یا خطرپذیری لرزه‌ای مورد نیاز خواهد بود. ضرایب تعیین هر چه نزدیکتر به ۱ باشد دقت تخمین مدل EDP-IM بهتر است. ضرایب تعیین که از روابط زیر محاسبه می‌شوند در حقیقت نشان‌دهنده خطای تحت عنوان "خطای درون مدل" یا "بایاس" حاصل از روش تحلیل لرزه‌ای هستند.

$$R^2 = 1 - \frac{\sum_{i=1}^n (y_i - \tilde{y}_i)^2}{\sum_{i=1}^n (y_i - \bar{y})^2}, \quad R_a^2 = 1 - [(1 - R^2) \times (n-1)/(n-m)]$$

(۲)

DNSP برای رسیدن به شکنندگی اعضا به شرح زیر عمل می‌شود:

به ازای هر نقطه عملکرد و در لحظه وقوع آن، چهار پاسخ بالهمیت این سازه شامل: جابه‌جایی انتهای آزاد پایلون (Pylon Head Displacement)، انحنای مقطع بحرانی پای پایلون (critical pylon section curvature)، کشش کابل (cable tension) و پاسخ لرزه‌ای قطعات (Seismic response of bearing device) در نرم افزار اجزای محدود ثبت می‌شود. هر پاسخ به ازای هر رکورد و در هر دو حالت زلزله عرضی و طولی ثبت و سپس بیشترین مقدار آن تعیین می‌شود. نهایتاً به ازای هر یک از پاسخ‌های چهارگانه و به تعداد رکوردهای اعمالی، خروجی‌ها شامل حداقل پاسخ لرزه‌ای در مقابل شتاب طیفی مُد اول ($S_a(T_1)$) مربوط به رکورد زلزله بدست می‌آید. قابل ذکر است که در اکثر تحقیقات مربوط به پل‌های ترکه‌ای از قبیل [9,10]، انتخاب شتاب طیفی مُد اول به عنوان پارامتر شدت لرزه‌ای بجای پارامترهایی نظری حداقل شتاب زلزله (PGA) به علت پریودهای بلند سازه این نوع پل رایج می‌باشد. پاسخ‌های لرزه‌ای ثبت شده برای در نظر گرفتن عدم قطعیت ناشی از تغییرات رکورد به رکورد، در فرم یک مدل احتمالاتی تقاضای لرزه‌ای^۱ بیان می‌شوند. این کار عموماً با اختصاص یک توزیع لوگ نرمال دو پارامتری شامل یک رابطه نمایی برای میانگین به همراه انحراف معیار متناظر، صورت می‌گیرد. این رابطه تحت عنوان رابطه نمایی دو پارامتری یا رابطه EDP-IM شناخته شده و قابل تخصیص به نتایج کلیه روش‌های تحلیل لرزه‌ای است:

(۱)

$$EDP = a(IM)^b$$

که در آن EDP میانگین پارامتر تقاضای مهندسی^۲ شامل پاسخ‌های لرزه‌ای ثبت شده، و IM پارامتر شدتی^۳ زلزله (در اینجا $(S_a(T_1))$) است. پارامترهای a و b نیز ضرایب مقیاس‌اند که به همراه انحراف معیار پاسخ‌ها از رابطه فوق، با استفاده از

3. Intensity Measure (IM)
4. determination coefficient

1. Probabilistic Seismic Demand Model (PSDM)
2. Engineering Demand Parameter (EDP)

۳- مطالعات موردنی

در این تحقیق برای تعمیم نتایج از سه نمونه پل ترکه‌ای موجود در ایران شامل پل ترکه‌ای اهواز، پل لالی و پل ترکه‌ای شهر مشهد که اطلاعات فنی آنها در دست است، استفاده خواهد شد.

۳-۱- تشریح نمونه پلهای مورد مطالعه

پل اهواز با دهانه میانی ۲۱۲ متر دارای پایلوون بتنی به شکل لوزی و به ارتفاع ۸۱ متر و آرایش کابل‌ها از نوع نیمه بادبزنی^۶ می‌باشد. اتصال بین عرشه و تیر عرضی با استفاده از بالشتک‌های الاستومری دارای نئوپرن^۵ برقرار است. پل لالی با دهانه میانی ۲۵۶ متر دارای دو پایلوون A شکل ۱۴۷ متری با پایه‌های عمودی و کابل‌های نیمه بادبزنی است. اتصال بین تیر پایلوون و عرشه نیز با استفاده از تکیه‌گاه‌های نئوپرن با هسته‌ی سربی^۷ برقرار است. پل مشهد دارای دو پایلوون H شکل با ارتفاع ۳۷ متر و به فاصله ۱۰۰ متر از یکدیگر و آرایش کابل نیمه بادبزنی می‌باشد. اتصال مربوطه نیز از نوع تکیه گاه‌های بالشتک محفوظه‌ای^۷ است.

۳-۲- مدل‌سازی اجزای محدود پلهای ترکه‌ای

برای انجام تحلیل غیرخطی سه بعدی روی مدل‌ها، مشابه مطالعات متعدد اخیر در زمینه ارزیابی لرزه‌ای پلهای ترکه‌ای مانند [۱۵-۱۷] از نرم‌افزار (CSI 2015) SAP2000 [۱۸] استفاده شده است. در رابطه با مدل اجزای محدود پلهای ترکه‌ای در این قسمت به شرح برخی فرضیات کاربردی برگرفته از تحقیقات قبلی نویسنده‌گان [۸,۹] می‌پردازیم. برای مدل‌سازی کابل‌ها از المان خرپایی معادل با در نظر گیری آثار شکمدادگی و مدول الاستیسته معادل طبق رابطه‌ی زیر بهره برده خواهد شد:

$$E_{eq} = \frac{E}{1 + \frac{(L_0\gamma)^2(\sigma_1 + \sigma_2)}{24\sigma_1^2\sigma_2^2} E} \quad (4)$$

که در آنها، y_i پاسخ‌های حقیقی ثبت شده از روش DNSP، \hat{y}_i پاسخ‌های مدل احتمالاتی تقاضای لرزه‌ای حاصل از روش EDP-IM (مدل DNSP) است. n و m نیز به ترتیب تعداد آنالیزها و تعداد متغیرهای موثر در تحلیل هستند. رویکرد دوم نیز دقت کلی مدل پاسخ لرزه‌ای حاصل از روش DNSP را در مورد پیش‌بینی پاسخ در ورودی‌های جدید و غیر از ورودی‌های از پیش تعریف شده مورد سنجش قرار می‌دهد. این رویکرد نشان می‌دهد مدل تقاضای لرزه‌ای احتمالاتی تولید شده از روش مذکور در مقایسه با نتایج نسبتاً دقیق روش‌های IDA و THA از چه دقیقی برخوردار است. این رویکرد با تعیین ضرایبی شامل خطای مطلق میانگین^۱، خطای مطلق حدکثرا^۲ و خطای میانگین محدود مربعات^۳ طبق مجموعه روابط^۴ انجام می‌شود. این خطاهای در این تحقیق "خطای برون مدل"^۵ نیز نامیده می‌شوند.

(۳)

$$\%AvgErr = 100 \times \frac{\frac{1}{n} \times \sum_{i=1}^n |y_i - \hat{y}_i|}{\frac{1}{n} \times \sum_{i=1}^n y_i}, \quad \%MaxErr = \frac{\sum_{i=1}^n |y_i - \hat{y}_i|}{\frac{1}{n} \times \sum_{j=1}^n y_j}$$

$$\%RMSE = 100 \times \sqrt{\frac{\frac{1}{n} \times \sum_{i=1}^n (y_i - \hat{y}_i)^2}{\frac{1}{n} \times \sum_{i=1}^n y_i}}$$

که در آنها، y_i پاسخ حقیقی و نسبتاً دقیق حاصل از روش دینامیکی در یک ورودی جدید، و \hat{y}_i پاسخ مدل پیش‌بینی کننده‌ی حاصل از روش DNSP (مدل متناظر با آن) به ازای همان ورودی جدید است. برای محاسبه ضرایب موجود در رویکرد دوم، پاسخ مدل EDP-IM حاصله از روش با حجم محاسباتی کمتر را (DNSP) مثلاً را برای ۱۰۰ جفت سازه‌رکورده که پاسخ‌هایش توسط روش دقیق‌تر (IDA) قبل محاسبه شده مقایسه می‌کنیم تا درستی روش با حجم محاسبات کمتر در نقاطی غیر از ورودی‌های قبلی نیز سنجیده شود.

5. Elastomeric Bearing Pad (EBP)

6. Lead Rubber Bearing (LRB)

7. Pot Bearing (PB)

1. Average absolute Error (%AvgErr)

2. Maximus absolut Error (%MaxErr)

3. Root Mean Square Error (%RMSE)

4. Semi-fan

پلاستیسته‌ی گستردہ و مفاصل فایبری ندارند. رفتار قطعات تکیه‌گاهی مختلف با استفاده از المان لینک میراگر با رفتار نیرو – جایه‌جایی دو خطی و در نظرگیری کاهنگی پاسخ‌های لرزه‌ای براساس دو پارامتر میرایی و سختی معادل مدل خواهد شد. میرایی سازه‌ای پل ترکه‌ای نیز به عنوان یکی از ویژگی‌های مهم رفتاری، با استفاده از فرایند تحلیلی ارائه شده توسط کاواشیما و همکاران [19] قابل محاسبه می‌باشد که اعتبار روابط آنها از طریق مقایسه نتایج با آزمون ارتعاش آزاد، تائید شده است. بر اساس فرآیند ذکر شده در [19] پل‌های مدل شده به سه زیرسازه اصلی شامل پایلوون‌ها، عرشه و اتصال کابل‌ها که منابع اصلی اتلاف انرژی هستند تقسیم شدند. سپس آزمون نوسان آزاد پیشنهاد شده توسط کاواشیما و همکاران را ری آنها اعمال نموده و برای هر زیر سازه رابطه بین اتلاف انرژی و انرژی کرنشی با روابط ارائه شده توسط کاواشیما و همکاران مقایسه شد. و بدین ترتیب راستی آزمایی مدل‌سازی انجام شده در این تحقیق انجام پذیرفت که نتایج حاکی از دقت خوب مدل‌ها داشتند.

۳-۳- انتخاب رکوردهای زلزله (عدم قطعیت تحریک لوزه‌ای)

رکوردهای زلزله با توجه به ویژگی‌های لرزه‌خیزی منطقه‌ای که پل در آن واقع شده است، شامل بزرگای زلزله (M_w) و فاصله منبع زلزله تا سایت (R) از طریق [20] تهیه می‌شود. تحریک‌های لرزه‌ای به ترتیب برای پل‌های اهواز، لالی، و مشهد رکوردهایی با M_w ۶/۳ الی ۷ و R ۲۰ الی ۸۰ و M_w ۶/۱ الی ۷/۴ و R ۲۰ الی ۱۰۰ و M_w ۶ الی ۷ و R ۱۵ الی ۷۵ انتخاب شده‌اند. تهیه طیف رکورد این زلزله‌ها و تبدیل آنها به فضای دو بعدی شتاب طیفی-پریود توسط نرم افزار Seismosignal صورت می‌پذیرد.

۴- عدم قطعیت موجود در پارامترهای سازه‌ای

این موضوع با در نظرگیری پارامترهای موثر سازه‌ای به فرم متغیرهای تصادفی مطابق جدول (۱) و اعمال روش نمونه‌گیری روی فضای توزیع مشترک آنها قابل انجام است.

که در آن E_{eq} مدول الاستیستیته معادل کابل، E مدول الاستیستیته مصالح کابل، L_0 طول تصویر افقی کابل، و σ_1 و σ_2 تنش کششی موجود در کابل در ابتدا و انتهای یک بارگذاری مشخص و γ وزن واحد حجم مصالح کابل است. به طور کلی اثر در نظر گرفتن رفتار غیرخطی ناشی از شکمدادگی کابل، اندکی در افزایش پاسخ لرزه‌ای پایلوون‌ها از جمله نیروی محوری آنها و افزایش لنگر خمشی شاهتیرها، و مقدار زیادی در در افزایش پاسخ‌های لرزه‌ای خود کابل‌ها نقش دارد. بنابراین لحظه نمودن مدل فوق برای در نظرگیری رفتار غیرخطی کابل‌ها ضروری بنظر می‌رسد.

در مدل‌سازی عرشه از المان پوسته که روی شاهتیرهای فولادی با مدل المان تیر – ستونی الاستیک قرار داده شده، استفاده می‌شود. چرا که با توجه به دهانه‌های زیر ۴۵۰ متر در مطالعات موردنی معرفی شده احتمال تغییر شکل‌های بزرگ در شاهتیرها کم بوده و اختصاص المان غیرخطی، تنها زمان محاسبات را افزایش خواهد داد. جهت در نظرگیری رفتار غیرخطی پایلوون‌ها ناشی از تغییر شکل‌های بزرگ احتمالی در آنها و همچنین اندرکش خمس و نیروی محوری، از اختصاص مدل فایبری با پلاستیسته گستردہ به المان تیرستونی غیرخطی در دو انتهای پایه‌های پایلوون به دلیل دارا بودن لنگر حداثتی بهره گرفته خواهد شد. با توجه به ابعاد نسبتاً بزرگ پل‌های ترکه‌ای مورد مطالعه در نظرگیری اثرات غیرخطی برای P-Δ ضروری بنظر می‌رسد. همچنین به دلیل بکارگیری مفاصل فایبری، مدل غیرخطی برای بتون محصور، بتون غیر محصور و میلگردی‌های تقویت کننده تعریف می‌شود، که این کار به ترتیب با مدل‌های متداول Mander برای هسته و پوشش بتونی، و مدل انجمن آزمایش مواد آمریکا (ASTM) برای فولاد انجام می‌شود. تیر عرضی پایلوون بدلیل احتمال بروز رفتارهای غیرخطی در کناره‌ها، با بهره‌گیری از اختصاص مفصل مت مرکز به دو انتها مدل می‌شود. پایه‌های ساده کناری پل کابلی نیز به صورت المان لینک غیرخطی مدل خواهند شد. دو مورد اخیر شامل تیر عرضی پایلوون و پایه‌های کناری به دلیل عدم احتمال گسترش تغییر شکل‌های بزرگ در آنها، نیازی به تعریف

و THA ابتدا برای محاسبه پاسخ‌های لرزه‌ای و سپس در راستای تخمین شکنندگی لرزه‌ای مطالعات موردنی تشریح شده در بخش ۳ بکار بسته می‌شوند. سپس نتایج عددی حاصله مذکور با جزئیات کامل و طبق رویکردهای آماری ارائه شده در بخش

۲-۲ مورد بحث قرار خواهد گرفت.

۴-۱- تحلیل لرزه‌ای احتمالاتی با درنظرگیری عدم قطعیت

در این راستا و پس از تهیه حد نمونه سازه‌ی مختلف با بهره‌گیری از روش نمونه‌گیری طراحی یکنواخت بر روی توزیع مشترک متغیرهای سازه‌ای موجود در جدول ۱ وجفت کردن آنها با ۱۰۰ رکورد زلزله مختلف، ۱۰۰ جفت سازه-رکورد متفاوت تولید می‌گردد. قابل ذکر است تعداد رکوردهای متمایز در روش‌های DNSP و THA دقیقا همان ۱۰۰ عدد بوده اما در روش IDA با توجه به ماهیت متفاوتی که دارد ۱۵ رکورد متمایز در ۵ مقیاس تولید و نهایتا منجر به ۷۵ عدد تحریک لرزه‌ای متمایز خواهد شد. لازم بذکر است این رکوردها از طریق مرجع شناخته شده‌ی موسسه تحقیقاتی (PEER) [20] تهیه شده که براساس روش طیف خطر یکنواخت [21] و طبق لرزه خیزی منطقه که در بخش ۳-۳ مورد بحث واقع شد، اصلاح شده‌اند. به عنوان نمونه، عنوان و طیف رکوردهای انتخابی برای روش IDA در شکل (۳) ارائه شده‌اند.

شکل ۳. طیف رکوردهای انتخابی برای روش آنالیز دینامیکی فراینده

جدول ۱. توزیع احتمالاتی متغیرهای سازه‌ای

Variable	Dist.	Case	Mean	Lower bound	Upper bound
<i>yielding stress of steel (f_y)</i>	L-N	Lali	420	350	490
		ahvaz	400	340	460
		Mash.	400	340	460
	L-N (f_c)	Lali	30	24	36
		ahvaz	30	24	36
		Mash.	28	23	33
<i>Strain of f_c (ϵ_c)</i>	L-N	All	0.002	0.0012	0.0028
<i>ultimate strain of concrete (ϵ_{cu})</i>	L-N	All	0.006	0.0036	0.0084
<i>Elastic modulus</i>	L-N	All	2 e5	180	220
<i>Pylon section thickness</i>	N	Lali	60cm	48	72
		ahvaz	80cm	64	96
		Mash.	50cm	40	60
<i>Err.*</i>	N	All	0%	-10%	+10%

*Dist.: Distribution, Err: Error of section dimensions, Mash:
Mashhad

Table 1. Probabilistic distribution of structural parameters

لازم بذکر است توزیع‌های احتمالاتی فوق برگرفته از تحقیقات مختلف موجود در زمینه‌ی ارزیابی شکنندگی پل‌های ترکه‌ای از قبیل مقالات قبلی نویسنده‌گان [9, 8] می‌باشد.

۴- نتایج عددی ارزیابی احتمالاتی لرزه‌ای پل‌های ترکه‌ای

در این قسمت از مقاله رویکرد پیشنهادی DNSP (ارائه شده در بخش ۱-۲) به صورت مقایسه‌وار در کنار روش‌های IDA

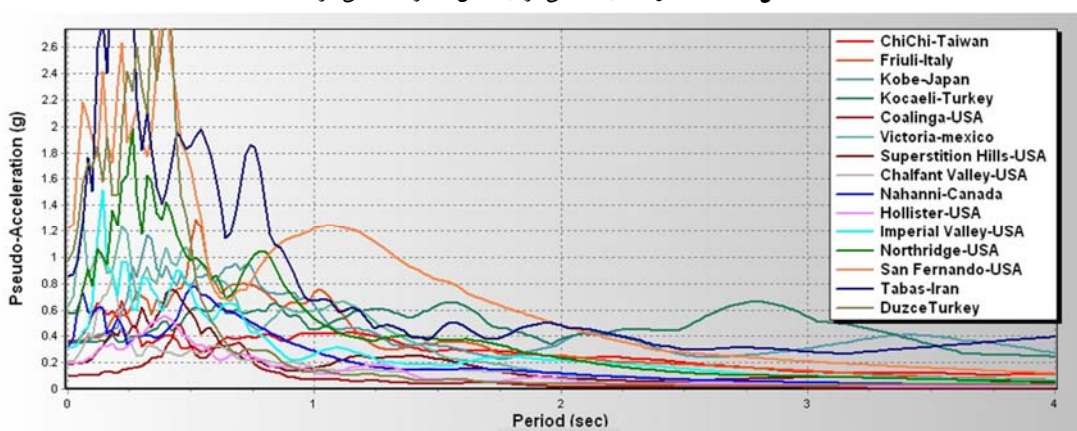


Fig. 3. Spectrum of selected records for IDA method

مربوط به رویکرد اول اعتبار سنجی روی پاسخ های لرزه ای بدست آمده و در جدول (۲) گزارش شده است.

پس از انجام تحلیل های لرزه ای به سه روش IDA، THA و DNSP و محاسبه چهار پاسخ لرزه ای نوبت به تخصیص مدل نمایی خواهد رسید. نهایتاً پس از اینکار پارامترهای خطای

جدول ۲. ضرایب تعیین مدل های تقاضا - پارامتر شدتی متناظر با روش های مختلف تحلیل لرزه ای

Case study	Seismic demand	Seismic analysis method				
		IDA	THA	DNSP		
		R ²	(R ²) _a	R ²	(R ²) _a	R ²
Lali	Pylon curvature	0.9609	0.9595	0.9573	0.9529	0.9303
	Pylon head displacement	0.9726	0.9705	0.9707	0.9696	0.9574
	Bearing displacement	0.9512	0.9505	0.9468	0.9443	0.9122
	Cable tension	0.9865	0.9836	0.9854	0.9838	0.9814
Ahvaz	Pylon curvature	0.9627	0.9607	0.9605	0.9594	0.9398
	Pylon head displacement	0.9799	0.9784	0.9773	0.9753	0.9608
	Bearing displacement	0.9431	0.9412	0.9404	0.9383	0.9031
	Cable tension	0.9884	0.9853	0.9873	0.9848	0.9822
Mashhad	Pylon curvature	0.9657	0.9625	0.9633	0.9611	0.9492
	Pylon head displacement	0.9818	0.9806	0.9801	0.9784	0.9646
	Bearing displacement	0.9229	0.9221	0.9123	0.9083	0.8874
	Cable tension	0.9982	0.9954	0.9918	0.9894	0.9860

Table 2. coefficients of determination for EDP-IM model corresponding to different analysis methods

ضرایب R^2 و R_a^2 کمتر شده است. همچنین با توجه به استفاده از سه نوع قطعه تکیه گاهی مختلف در سه نمونه پل مورد مطالعه، می توان این موضوع را به وضوح دید که ضرایب R^2 و R_a^2 در پل مشهد با اتصال نوع PB و در پل لالی با اتصال نوع LRB، به ترتیب بیشترین و کمترین مقادیر را اختیار می کنند. توجیه این موضوع نیز به این مساله برمی گردد که اتصال عرضه به پایلوون خواه و ناخواه تاثیر زیادی از زلزله می پذیرد و در نتیجه هر چه اتصال در مقابل بارهای لرزه ای کارابی کمتری داشته باشد، ورود به فاز غیرخطی و تغییر شکل های بزرگ را بیشتر تجربه کرده و تخمین پاسخ آن براساس مدل EDP-IM با خطای بیشتری مواجه خواهد شد. در مورد هر سه روش مختلف تحلیل لرزه ای این موضوع صادق است که هرچه دهانه پل بزرگتر می شود به برای پیچیده تر شدن رفتار سیستم پل کابل ایستا و هم چنین افزایش پریود و کاهش میرایی می توان مشاهده نمود ضرایب تعیین روند کاهشی دارد. موضوع اخیر به ویژه در مورد انحنای پایلوون و پاسخ قطعه تکیه گاهی به دلیل تاثیر پذیری بیشتر از زلزله، بیشتر به چشم می آید.

۴-۱-۱- بحث در مورد نتایج مربوط به ضرایب تعیین (متناظر با خطای درون مدل)

طبق انتظار از روش های دقیق تر و براساس نتایج رویکرد اول، ضرایب R^2 و R_a^2 به ترتیب در مورد روش های IDA، THA و DNSP از بزرگ به کوچک مرتب می شود. اما نکته مهم اینجاست که کاهش ضرایب مذکور در مورد روش DNSP کم پاسخ های مختلف مانیتور شده نیز می توان گفت؛ کمترین و بیشترین مقادیر ضرایب R^2 و R_a^2 به ترتیب برای کشش کابل و پاسخ قطعه تکیه گاهی گزارش شده است. این موضوع را می توان با میزان ایفای نقش عضو در مقاومت لرزه ای و بروز رفتارهای غیرخطی در آنها اینگونه توجیه کرد که کابل ها در زلزله کمترین سهم و غالباً رفتار خطی دارند ولی قطعات تکیه گاهی بیشترین ورود به فاز غیر خطی را تجربه می کنند، و بدیهی است تخمین پاسخ ها براساس مدل EDP-IM در مورد فاز غیرخطی همراه با خطای بیشتر خواهد بود. در مورد مقایسه خطای درون مدل مرتبط با دو پاسخ مختلف پایلوون نیز مشاهده می شود به دلیل تشکیل مفاصل پلاستیک در پای پایلوون، بروز رفتارهای غیرخطی در مورد انحنای پای پایلوون نسبت به جابه جایی سر آزاد آن بیشتر بوده و احتمالاً به همین دلیل

۴-۲- نتایج اعتبار سنجی روش DNSP براساس پارامترهای خطای برون مدل و بحث پیرامون آنها

نتایج مربوطه که براساس رویکرد دوم اعتبار سنجی (ارائه شده در بخش ۲-۲) انجام می شود در جدول (۳) ارائه شده است.

جدول ۳. پارامترهای خطای روش‌های تحلیل لرزه‌ای نسبت به یکدیگر

Monitored response		Comparative methods								
Case	Demand	THA and DNSP			IDA and THA			IDA and DNSP		
		%MaxErr	%AvgErr	%RMSE	%MaxErr	%AvgErr	%RMSE	%MaxErr	%AvgErr	%RMSE
Lali	Pylon curvature	3.2287	1.9955	2.3071	1.847	1.6152	1.6616	4.1909	2.3039	2.7873
	Pylon head displacement	3.3546	2.2076	2.4795	1.3968	1.2843	1.3306	4.3564	2.4894	2.9065
	Bearing displacement	2.6254	1.1734	1.2795	1.794	1.5756	1.6351	2.4628	1.5095	1.7213
	Cable tension	2.2806	1.5115	1.8629	0.7877	0.5494	0.6619	3.019	2.0987	2.5489
Ahvaz	Pylon curvature	5.138	3.3082	3.4673	2.2574	2.0455	2.0985	7.6336	4.9257	5.3031
	Pylon head displacement	7.5314	4.3624	5.0783	1.2909	1.2114	1.218	9.7788	5.4686	6.4684
	Bearing displacement	2.5591	1.3126	1.485	1.9595	1.9197	1.9264	3.3699	1.6551	2.0126
	Cable tension	2.917	2.1281	2.3005	0.6752	0.6156	0.6222	3.8863	2.8998	3.0058
Mashhad	Pylon curvature	5.3435	3.7259	3.9579	1.2776	1.2246	1.2445	6.9451	4.6874	5.1112
	Pylon head displacement	6.2385	3.885	4.5811	0.9665	0.8606	0.887	8.1368	4.9456	5.9652
	Bearing displacement	3.295	1.5248	1.8695	2.1779	1.9727	2.0323	3.9393	2.059	2.4695
	Cable tension	3.0894	2.4728	2.3734	0.5295	0.4104	0.4303	4.1577	3.3302	3.1514

Table 3. Eroor parameters associated with comparison of different analysis methods

H شکل و دهانه اصلی ۱۰۰ متری و پل لالی با پایلوون H شکل و دهانه اصلی ۲۵۶ متری روند نزولی دارد. چرا که اولاً پایلوون لوزی شکل در مقایسه با پایلوون H شکل سختی بالاتری داشته و ثانیاً برای پل‌های مشهد و لالی با پایه مشابه، مورد اول به دلیل دهانه کوتاه‌تر و در نتیجه سختی بیشتر مشمول خطای بیشتری شده است. همچنین میزان خطای مورد بحث عموماً در مورد جابه‌جایی سر آزاد پایلوون نسبت به انحنای پای پایلوون ملموس‌تر است چرا که طبق مشاهدات، مورد اول متناظر با مُد برشی با فرکانس بزرگ‌تر و مورد دوم متناظر با مُد خمشی با فرکانس کوچک‌تر می‌باشد. همچنین می‌توان گفت در مقایسه‌ی پل‌های مشهد و لالی که شکل پایلوون مشابه دارند با کاهش ارتفاع پایلوون و سخت‌تر شدن آن به علاوه تأثیر عوامل قبلي، خطای نسبی در مورد جابه‌جایی سر آزاد پایلوون افزایش یافته است. در مورد پاسخ قطعه تکیه‌گاهی نیز مشاهده می‌شود که میزان خطای روش DNSP متناسب با میزان بروز رفتارهای غیرخطی به ترتیب برای نوع تکیه‌گاه PB و LRB و EBP و Rond کاهشی دارد. قابل ذکر است بدليل پایین بودن فرکانس مدهای حاکم بر رفتار قطعات تکیه‌گاهی، میزان خطای بروز

نتایج حاصل از مقایسه روش THA با DNSP با IDA در جدول (۳) نشان می‌دهد که میانگین خطای این روش بین ۱ الی ۵ درصد بوده که حاکی از دقت قابل قبول رویکرد کلی روش پیشنهادی می‌باشد. به طور کلی درمورد رویکرد DNSP که در بخش ۱-۲ تشریح شد باید یادآوری کرد که مدهای با فرکانس کمتر از فرکانس غالب غیر الاستیک و سایر مدها که فرکانسی بین فرکانس مُد غالب و فرکانس حداقل ($f_{max}=25Hz$) دارند خطی لحاظ خواهند شد. بنابراین هر چه عضوی از سازه سخت‌تر و دارای پریود کمتر باشد فرکانس مُد غالب آن افزایش پیدا خواهد کرد. در نتیجه تعداد مدهای بیشتری موجب بروز رفتار غیرخطی تحت تأثیر تحریک لرزه‌ای می‌شوند. بنابراین به طور کلی می‌توان نتیجه گرفت در مورد اعضای سخت‌تر پل کابلی یا پل‌های با دهانه کوچک‌تر (سختی بیشتر)، و همچنین پاسخ‌های حساس به مدهای با فرکانس بالا درصد خطای ناشی از فرضیات ساده‌کننده موجود در DNSP افزایش خواهد یافت. بعنوان مثال درصد خطای موجود در روش DNSP متضاد با دو پاسخ لرزه‌ای پایلوون به ترتیب برای پل اهواز با پایلوون لوزی شکل و دهانه اصلی ۲۱۲ متری، پل مشهد با پایلوون

۴-۲- مطالعه مقایسه‌ای بر روی منحنی‌های شکنندگی حاصل از رویکرد DNSP و رویکردهای موجود

اکنون نوبت به تولید و مقایسه منحنی‌های شکنندگی حاصل از سه روش مختلف رسیده است. تولید این منحنی‌ها براساس رویکرد رایج قابلیت اعتماد و طبق معادله ۴ صورت می‌پذیرد:

$$P_f = \phi \left[\ln(\mu_D / \mu_{DC}) \right] / \sqrt{\beta_{\ln D}^2 + \beta_{\ln DC}^2} \quad (4)$$

منحنی‌های شکنندگی برای چهار سطح خرابی مختلف شامل جزئی (Slight)، متوسط (Moderate)، گسترده (Extensive) و فروریزش (Collapse) محاسبه می‌شود که معیارهای ظرفیتی این سطوح به مقالات قبلی نویسنده‌گان [9,10] ارجاع داده می‌شود. منحنی‌های مذکور برای سه نمونه پل، چهار پاسخ لرزه‌ای، و برای مقایسه برای سه روش IDA، DNSP و THA درکنارهم، در اشکال (۴ الی ۹) نمایش داده شده است.

مدل این عضو نسبت به خطای متناظر با ضرایب تعیین آن (R^2) and R_a^2 قابل توجه نمی‌باشد. در مورد تقاضای لرزه‌ای متناظر با کشش کابل نیز مشاهده می‌شود خطای تخمين روش DNSP نسبت به روش‌های دقیق‌تر کمی ملموس‌تر از خطای درون مدل این عضو است. این موضوع می‌تواند ناشی از متصل بودن کابل‌ها به قسمت بالایی پایلوون که حساس به مُدهای با فرکانس بالا است، باشد. همچنین مقایسه بین خطاهای مرتبط با کابل در سه پل مختلف نشان می‌دهد کاهش ارتفاع پایلوون تاثیر مستقیم بر افزایش خطای دارد که ناشی از افزایش سختی طولی پایلوون است. در ادامه استدلال‌های اخیر، به‌طور کلی می‌توان گفت عموماً روند افزایشی خطای روش DNSP به این ترتیب است: پاسخ قطعه تکیه‌گاهی، کشش کابل، انحنای پای پایلوون و جابه‌جایی سر آزاد پایلوون.

پس از بحث آماری همراه با جزئیات که در راستای راستی آزمایی نتایج روش DNSP انجام شد، به طور کلی می‌توان گفت همه پارامترهای معرف خطای این روش در مورد پل‌های ترکه‌ای بسیار منطقی و قابل صرفظیر کردن بوده و کارایی این روش در کمی‌سازی عدم قطعیت رکورد کاملاً قابل اتکا است.

قابل ذکر است که علاوه بر روش‌های دینامیکی مورد مقایسه تاکنون، روش تحلیل پوش‌آور در فرم‌های متدالو خود از قبیل مودال و تطبیقی نیز می‌تواند مورد بحث باشد. اما در مورد سیستم پل‌های کابلی به علت ابعاد بزرگ و بروز رفتارهای غیرخطی ناشی از آن، اینگونه روش‌ها عموماً از خطای بالای برخوردار بوده و در حقیقت همین موضوع است که موجب پیشنهاد و گسترش رویکرد DNSP در این تحقیق شده است. به گونه‌ای که بتواند با توسعه فرضیات مورد نیاز طبق بخش ۲-۱، حداقل متناسبسازی ممکن را برای رویکرد استاتیکی روش پوش‌آور با سیستم بزرگ مقیاس و غیر خطی پل کابلی انجام دهد. به عنوان نمونه میانگین خطای روش پوش‌آور مودال نسبت به روش‌های دینامیکی THA و IDA به ترتیب ۱۸ و ۲۳ درصد بوده، که در مورد رویکرد DNSP همانطور که تاکنون مورد بحث واقع شد، این خطای زیر ۵ درصد است.

شکل ۵. منحنی های شکنندگی پل لالی (سطح خرابی گسترده و فروریزش)

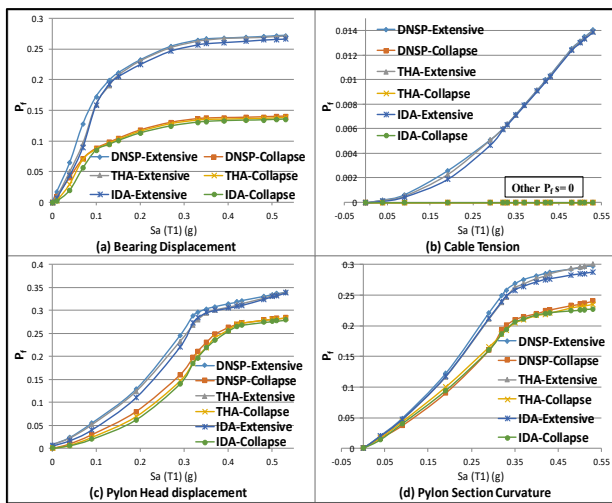


Fig. 5. Fragility curves of Lali bridge (Extensive and Collapse)

شکل ۶. منحنی های شکنندگی پل اهواز (سطح خرابی جزئی و متوسط)

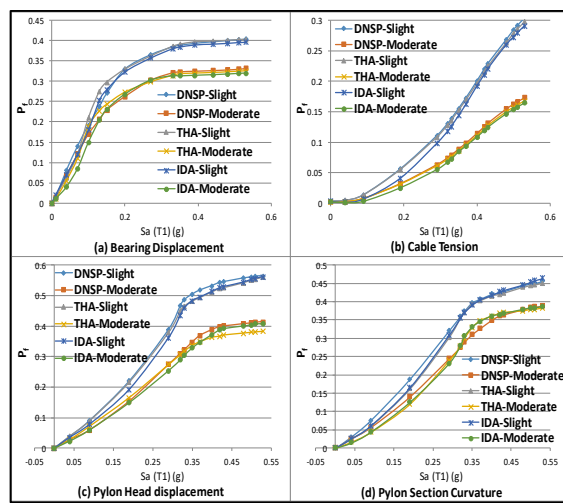


Fig. 6. Fragility curves of Ahvaz bridge (Slight and moderate)

شکل ۷. منحنی های شکنندگی پل اهواز (سطح خرابی گسترده و فروریزش)

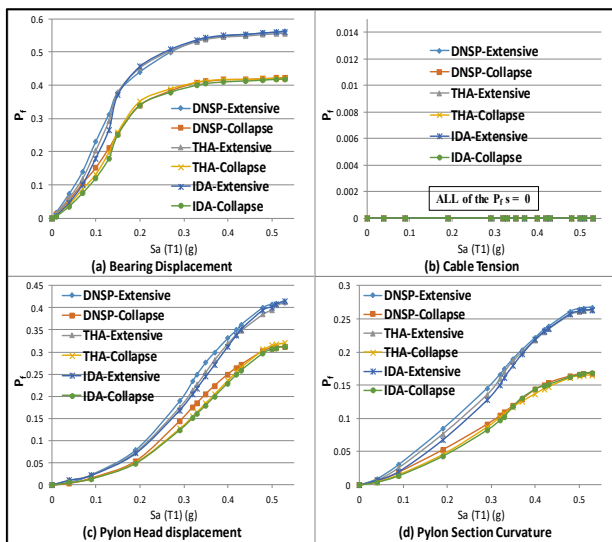


Fig. 4. Fragility curves of Ahvaz bridge (Extensive and Collapse)

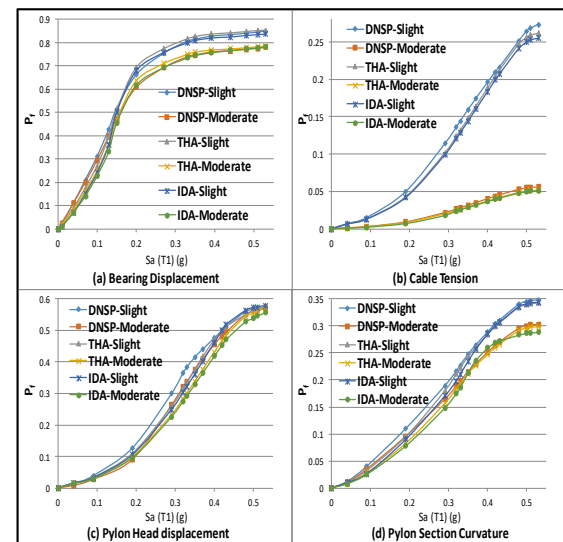


Fig. 4. Fragility curves of Ahvaz bridge (Slight and moderate)

شکل ۸ منحنی های شکنندگی پل مشهد (سطوح خرابی جزئی و متوسط)

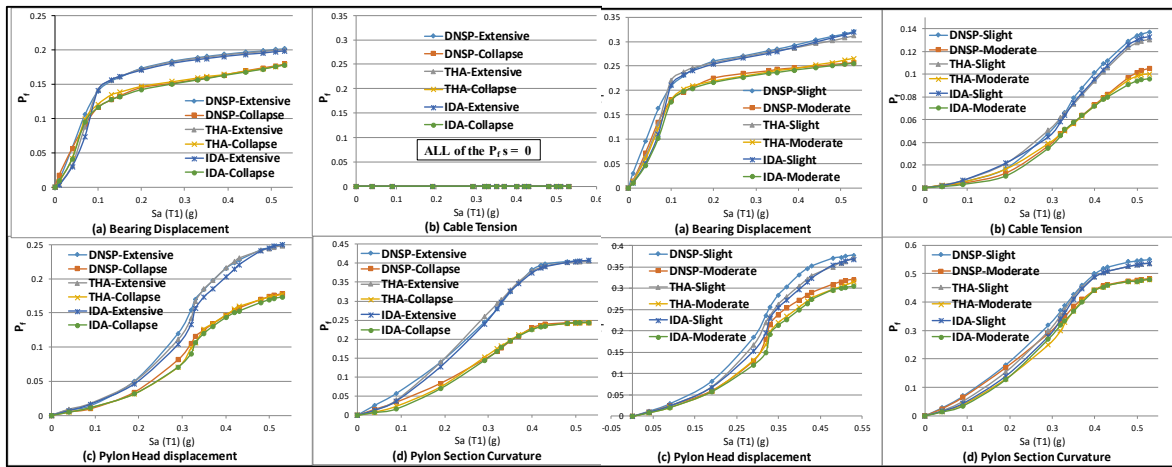


Fig. 4. Fragility curves of Mashhad bridge (Extensive and Collapse) Fig. 4. Fragility curves of Mashhad bridge (Slight and moderate)

(شکل پهن) برای کلیه پل ها و پاسخ های لرزه ای، با مراجعه به بحث و مقایسه ضرایب R_a^2 و استدلال های پشت آن که پیش از این صورت گرفت، قابل توجیه خواهد بود. اما فراتر از این مقایسه ها این نکته اهمیت دارد که حتی در کمترین مقادیر ضرایب تعیین منحنی های شکنندگی حاصل از DNSP شکل استاندارد تقریبی خود را حفظ کرده و نتایج ارزیابی شکنندگی لرزه ای کاملاً قابل اتکا هستند.

اما مقایسه مقادیر شکنندگی موجود در اشکال (۴ تا ۹) و در کل منحنی نشان از هماهنگی نسبی نتایج THA و IDA با یکدیگر و همچنین نزدیکی بسیار مناسب نتایج DNSP به این دو روش دارد. مشاهده اخیر نتیجه های قابل انتظار از داده های ارائه شده در جدول ۳ حاصل از رویکرد دوم اعتبار سنجی پاسخ های لرزه ای حاصله از روش DNSP است. به عبارت دیگر هرچه مقادیر خطای برومندل مربوط به یک مورد کمتر باشد منحنی شکنندگی حاصل از آن به منحنی حاصل از روش دقیق نزدیکتر خواهد بود. بنابراین تحلیل نتایج حاصل از مقایسه مقادیر منحنی های شکنندگی مختلف مشابه با تحلیل نتایج رویکرد دوم اعتبار سنجی خواهد بود که از ذکر مجدد آن خودداری می کنیم.

اما تنها تفاوت موجود در تحلیل نتایج شکنندگی نسبت به نتایج مدل های EDP-IM، بحث در رابطه با دو آیتم مورد بحث

۴-۲- بحث بر روی منحنی های شکنندگی حاصله مقایسه کلی منحنی های شکنندگی مختلف نشان از همخوانی مناسب نتایج DNSP در مقایسه با روش های دقیقتر مثل THA و IDA دارد. همچنین مشاهده می شود در بیشتر موارد منحنی شکنندگی حاصل از DNSP احتمال شکست را کمی بیشتر از روش های دیگر تخمین زده و به نوعی محافظه کاری اندکی را شامل می شود.

تحلیل و بررسی جزئی تر منحنی های شکنندگی در دو آیتم مختلف شامل شکل منطقی و رایج این منحنی ها (به شکل یک حرف S انگلیسی که پهن نوشته شده است)، و همچنین مقایسه مقادیر شکنندگی در منحنی های حاصل از روش DNSP با روش های دقیق تر، انجام می پذیرد. بررسی منحنی ها نشان می دهد که دو آیتم مذکور به ترتیب متناسب با پارامترهای متناظر با خطای درون مدل و برومندل هستند که در واقع دلیل این دسته بندی برای پارامترها در مرحله ای قبل همین رابطه منطقی بین فلسفه های دو رویکرد و دو آیتم مذکور بوده است. به عبارت دقیق تر، خطای درون مدل هر پل یا پاسخ خاص نشان دهنده ی توانایی تخصیص مدل احتمالاتی مناسب با انحراف معیار منطقی به نتایج است و بنابراین نمود یک مدل EDP-IM مناسب با خطای کم قطعاً در شکل رایج و منطقی منحنی شکنندگی آن نمایان خواهد شد. بدین ترتیب مقایسه بین منحنی های شکنندگی از جهت نزدیکی به شکل استاندارد

IDA دارد، که با این وجود باز هم دقت بالای آن در قسمت‌های قبلی مقاله تبیین شد. ضمن اینکه مشاهده می‌شود در صد کاهاش حجم محاسبات در پل‌های با دهانه بزرگتر بیشتر است چرا که دهانه‌های بزرگتر پل ترکه‌ای رفتار پیچیده‌تری داشته و در نتیجه محاسبات آنها در روش‌های دینامیکی چالش برانگیزتر خواهد بود.

۶- جمع‌بندی و نتیجه‌گیری

مطالعه حاضر با هدف کاهش حجم محاسبات تحلیل لرزه‌ای احتمالاتی پل‌ها انجام شد که تمرکز آن روی سازه بزرگ مقیاسی پل ترکه‌ای به جهت پیچیدگی نسبی رفتار لرزه‌ای آن می‌باشد. در این راستا این مقاله به ارائه و سپس اعتبار سنجی راهکاری کارآمد برای تحلیل لرزه‌ای این نوع پل پرداخته است. این راهکار در راستای چگونگی درنظرگرفتن عدم قطعیت تحریک لرزه‌ای (اعمال رکورد زلزله به سازه) بوده و کارایی محاسباتی آن به منپور کاهش حجم محاسبات در عین حفظ دقت مورد مطالعه قرار گرفته است. رویکرد پیشنهادی این مقاله تحت عنوان روش پوش‌اُور استاتیکی توسعه یافته‌ی غیرخطی (DNSP) بوده و با روش‌های دقیق‌تر دینامیکی شامل IDA و DNSP در زمینه‌های تخمین توزیع احتمالاتی پاسخ‌های لرزه‌ای و منحنی‌های شکنندگی لرزه‌ای و همچنین حجم محاسبات مقایسه شده است. چکیده نتایج این مطالعه مقایسه‌ای در ادامه آورده شده و ذکر جزئیات آن به متن مقاله واگذار شده است.

- استفاده از DNSP در مقایسه با IDA و THA، زمان مورد نیاز ارزیابی لرزه‌ای را به ترتیب ۳۵ و ۱۰۰ برابر کاهش می‌دهد.

- در مورد ضرایب تعیین مرتبط با تخصیص مدل تقاضای لرزه‌ای احتمالاتی به نتایج DNSP، می‌توان گفت که هر چه میزان بروز رفتارهای غیرخطی در پاسخی بیشتر باشد، این ضرایب از عدد ۱ دورتر می‌شوند. در این خصوص می‌توان نکات زیر را ارائه کرد:

- 1- ضرایب تعیین روش DNSP برای تقاضاهای مختلف یک پل به این ترتیب کاهش می‌یابد: کشش کابل، جابه‌جایی سر آزاد پایلوون، انحنای پای پایلوون و جابه‌جایی قطعه‌ی تکیه‌گاهی.

برای سطوح مختلف خرابی است که در مورد منحنی‌های شکنندگی مفهوم پیدا می‌کند. همانطور در نمودارها مشاهده می‌شود میزان دور شدن شکل منحنی از حالت استاندارد در سطوح خرابی گستردۀ و فروریزش به دلیل افزایش بروز رفتارهای غیرخطی در مقایسه با حالات خرابی جزئی و متوسط، بیشتر است. همچنین می‌توان گفت میزان تفاوت منحنی‌های حاصل DNSP در مقایسه با دو روش دیگر برای سطوح خرابی بالاتر رو به کاهش است؛ چرا که در سطوح خرابی بالاتر سختی سازه به دلیل تغییر شکل‌ها کاهش یافته و میزان حساسیت به مدهای با فرکانس بالا کم می‌شود و در نتیجه نتایج روش DNSP به روش‌های دقیق نزدیکتر خواهد شد. قابل ذکر است همین موضوع و با استدلال مشابه، تقریباً در مورد یک سطح خرابی خاص و در مقایسه خطای تخمین شکنندگی برای مقادیر بالاتر پارامتر شدتی زلزله نسبت به مقادیر پایین‌تر، قابل مشاهده است.

۵- مقایسه حجم محاسباتی روش‌های مختلف تحلیل لرزه‌ای

تا این قسمت از مطالعه فقط دقت روش‌های موردبuth، بررسی شدند. اکنون برای جامعیت بحث، کاهش حجم محاسباتی رویکرد پیشنهادی DNSP در ارزیابی احتمالاتی لرزه‌ای پل ترکه‌ای نیز مورد مطالعه قرار می‌گیرد. این موضوع طی جدول (۴) و با ارائه حجم محاسبات به فرم اعداد نسبی گزارش می‌شود.

جدول ۴. حجم محاسبات عددی نسبت به دقیق‌ترین روش (دینامیکی فراینده)

Case	Relative computational time		
	IDA	THA	DNSP
Lali	1	0.3071	0.0088
Ahvaz	1	0.3156	0.0094
Mashhad	1	0.3323	0.0102

Table 4. Computational time relative to IDA

همانطور که از نتایج جدول (۴) پیداست روش DNSP برای تحلیل لرزه‌ای احتمالاتی پل‌های ترکه‌ای به طور میانگین حدود ۱۰۰ برابر حجم محاسباتی کمتری در مقایسه با روش دقیق

وقوع کمتر رفتارهای غیرخطی به شکل استاندارد نزدیکتر است.

۴- خطای تخمین منحنی شکنندگی DNSP برای حالت‌های خرابی بحرانی‌تر کمتر است چراکه به علت تغییر شکل‌های بزرگتر سختی سازه و حساسیت به مُفرکانس کاهش می‌یابد.

۷- مراجع

- [1] Chojaczyk, A. A., Teixeira, A. P., Neves, L.C., Cardoso, J. B. and Soares, C. G. (2015), “Review and application of Artificial Neural Networks models in reliability analysis of steel structures”, *Struct. Saf.*, **52**, 78-89.
- [2] Khorraminejad, A., Sedaghati, P. and Foliente, G. (2021), “Response modification factor and seismic fragility assessment of skewed multi-span continuous concrete girder bridges”, *Earthq. Struct.*, **20**(4), 389-403.
- [3] Kehila, F., Remki, M., Zourgui, N. H., Kibboua, A. and Bechtoula, H. (2021), “Optimal intensity measure of post-tensioned girder highway bridge using fragility curves”, *Earthq. struct.*, **20**(6), 681-696.
- [4] Shafigh, A., Ahmadi, H. R. and Bayat, M. (2021), “Seismic investigation of cyclic pushover method for regular reinforced concrete bridge”, *Struct. Eng. Mech.*, **78**(1), 41-52.
- [5] Bergami, A. V., Nuti, C., Lavorato, D., Fiorentino, G. and Briseghella, B. (2020), “IMPA β : Incremental modal pushover analysis for bridges”, *Applied Sci.*, **10**(12), 4287.
- [6] Wei, K., He, H., Zhang, J., Yang, C. and Qin, S. (2021c), “An endurance time method-based fragility analysis framework for cable-stayed bridge systems under scour and earthquake”, *Ocean Eng.*, **232**, 109128.
- [7] Pang, Y. and Wang, X. (2021), “Enhanced endurance-time-method (EETM) for efficient seismic fragility, risk and resilience assessment of structures” *Soil Dyn. Earthq.*, **147**.
- [8] Akbarnezhad, M., Salehi, M. and DesRoches, R. (2022), “Seismic design and numerical assessment of shape memory alloy-restrained rocking precast concrete bridge columns”, *Adv. Struct. Eng.*.
- [9] Akhoondzade-Noghabi, V. and Bargi, K. (2016a), “Decision-making of alternative pylon shapes of a benchmark cable-stayed bridge using seismic risk assessment”, *Earthq. Struct.*, **11**(4), 583-607.

۲- در مورد انواع مختلف قطعه‌ی تکیه‌گاهی، کمترین و بیشترین ضرایب تعیین به ترتیب متعلق به PB و LRB است.

۳- معمولاً در پلهایی با دهانه کابل ایستای بلندتر، خطای درون مدل کمی افزایش یافته است.

• در مورد خطای تخمین رویکرد DNSP نسبت به روش‌های موجود دینامیکی می‌توان گفت: در اعضای سخت‌تر پل، پاسخ‌های حساس به مُدهای با فرکانس بالا و پلهایی با دهانه‌های کوتاه‌تر و سخت‌تر، خطای افزایش می‌یابد. در ادامه نکاتی در مورد این نوع خطای ارائه می‌شود:

۱- برای دهانه‌های کوتاه‌ترو همچنین برای پایلون لوزی شکل در مقایسه با H شکل، خطای مربوطه افزایش می‌یابد.

۲- این خطای برای جابه‌جایی پایلون نسبت به انحنای پایلون ملموس‌تر است که به فرکانس بالاتر مُد شکست آن مربوط است.

۳- از آنجایی که فرکانس غالب قطعات تکیه‌گاهی پایین هستند، مقادیر خطای نسبتاً پایین این عضو برای EBP و LRB با افزایش وقوع رفتار غیرخطی به صورت صعودی بالا می‌رود.

۴- برای کشش کابل، به دلیل اینکه کابل به سر پایلون متصل است، افزایش سختی پایلون تأثیر مستقیم افزایشی بر خطای دارد.

۵- روند افزایش خطای بدین شرح است: جابه‌جایی اتصال تکیه‌گاه، کشش کابل، انحنای پای پایلون، و جابه‌جایی سر آزاد پایلون.

• به طور کلی، نتایج تحلیل شکنندگی پلهای ترکه‌ای حاصل از DNSP مطابقت بسیار خوبی با روش‌های مرجع مانند THA و IDA دارند. بنابراین، استفاده از DNSP در این راستا کاملاً منطقی است. در این خصوص می‌توان به نکات زیر اشاره کرد:

۱- منحنی‌های شکنندگی نشان می‌دهد که شکل استاندارد آنها و مقدار خطای تخمین روش DNSP نسبت به روش‌های دینامیکی به ترتیب با ضرایب تعیین و خطای برون مدل تناسب دارد.

۲- حتی در حداقل مقادیر ضرایب تعیین، منحنی‌های شکنندگی DNSP شکل استاندارد خود را حفظ کرده‌اند.

۳- منحنی‌های شکنندگی در حالت‌های آسیب جزئی و متوسط در مقایسه با حالت‌های خرابی گسترده و فروریزش به دلیل

- [10] Akhoondzade-Noghabi, V. and Bargi, K. (2016b), “Study on Different Cable Configurations of Cable-Stayed Bridges Using Developed Seismic Risk Assessment”, *Struct. Eng. Int.*, **26**(4): 312-323.
- [11] Camara A. and Astiz M. (2012). Pushover analysis for the seismic response prediction of cable-stayed bridges under multi-directional excitation, *Engineering Structures* **41**, 444-455.
- [12] Camara A, Astiz M. (2014). Analysis and control of cable-stayed bridges subject to seismic action. *Struct. Eng. Int.* ;**24**(1):27-36.
- [13] Allam S, Datta T. (2000), Analysis of cable-stayed bridges under multi-component random ground motion by response spectrum method. *Eng. Struct.* ;**22**(10):1367-1377.
- [14] Shattarat N, Symans M, McLean D, Cofer W. (2008). Evaluation of nonlinear static analysis methods and software tools for seismic analysis of highway bridges. *Eng. Struct.* ;**30**(5):1335-1345.
- [15] Ferreira, F. and Simões, L. (2020), “Synthesis of three dimensional controlled cable-stayed bridges subject to seismic loading”, *Comput. Struct.*, **226**, 106137.
- [16] Shen Y., Li Y., Xu W. and Li J. (2020), “Evaluation of Seismic-induced Impact Interaction between a Cable-stayed Bridge and Its Approach Spans Using a Simplified Analysis Model”, *J. Earthq. Eng.*, **14**, 1-21.
- [17] Xu L., Bi K., Gao J. F., Xu Y. and Zhang C. (2020), “Analysis on parameter optimization of dampers of long-span double-tower cable-stayed bridges”, *Struct. Infrastruct. Eng.*, **16**(9), 1286-301.
- [18] CSI (2015), *Integrated software for structural analysis and design SAP2000*, Computers and Structures Inc. Berkeley, U.S.A.
- [19] Kawashima, K., Unjoh, S., and Tunomoto, M. (1993), “Estimation of damping ratio of cable-stayed bridges for seismic design”, *J. Struct. Eng.*, **119**(4), 1015–1031.
- [20] Pacific Earthquake Engineering Research Center (PEER) (2005), “User’s manual for the PEER ground motion database web application”, University of California, Berkeley.

Development of a practical approach for probabilistic seismic analysis of cable stayed bridges considering accuracy and computational effort simultaneously

Vahid Akhoondzade-Noghabi¹, Khosrow Bargi²

- 1- Ph.D. of Earthquake engineering, School of civil engineering, College of engineering, University of Tehran
2- Professor, School of civil engineering, College of engineering, University of Tehran

Abstract

Different methods of seismic analysis of structures generally include Incremental Dynamic Analysis (IDA), Time History Analysis (THA), and Static Pushover Analysis (SPA), which in the same order have a decreasing trend in the computational effort and the estimation accuracy of seismic demands. In the structural engineering problems involving probabilistic seismic analyses such as seismic fragility assessment, and seismic risk based design optimization due to the consideration of a wide range, respectively, for uncertain parameters and the decision-making variables, many repetitions of the time-consumed seismic analyses on the finite element models has been required. This issue is considered as a burden for computational efficiency due to the significant increase in the computational cost, especially in the case of large-scale structural systems such as Cable Stayed Bridges (CSBs). Therefore, in this paper, an attempt will be made to develop and adapt the approach of the static pushover method to the seismic behavior of the CSB in both longitudinal and transverse direction. This approach includes producing the structure's capacity curve through the proposed static pushover approach and intersecting it with the corresponding record demand spectrum, while considering all the important linear and nonlinear behavior modes of the structure in order to calculate the performance point of the CSB. Then the desired seismic responses of the CSB has been recorded at the performance point of structure. The intended seismic demands of the CSB include pylon head displacement, critical pylon section curvature, cable tension, and bearing device displacement. It is worth mentioning that according to the purpose of this research, which includes the probabilistic form of seismic analysis, the seismic analyses consist of the applying the various seismic records on the samples produced by the uniform design sampling method in such a way that the uncertainty in the structural and seismic parameters is taken into account at the same time. In this way, the mentioned approach as well as other more accurate methods including IDA and THA are used in order to estimate the probability distribution of aforementioned seismic demands in three case studies of existing CSBs in Iran. Then, in relation to the above-mentioned proposed approach entitled Developed Nonlinear Static Pushover (DNSP) method, the complete justification of the relatively small errors in the outputs estimation of this method will be performed by explaining the sufficient reasons and details to clarify its effective computational efficiency in the seismic assessment of the CSBs. In the next step, the seismic fragility curves related to the various components of the case studies are generated as the final result of probabilistic seismic analysis of structures. For the comprehensiveness of validation and in line with the recommendation of the DNSP method for the CSBs, the relationship between the accuracy of methods in estimating seismic responses and seismic fragility is also will be discussed. In the end, after comparing the seismic outputs and the computational cost of different methods, this study concluded that the proposed DNSP approach in estimating the demand and seismic fragility of the CSBs has an appropriate accuracy and at the same time leads to that the computational workload has been significantly reduced compared to existing methods.

Keywords: Probabilistic seismic analysis, Record to record uncertainty, Developed Nonlinear Static Pushover (DNSP), Seismic fragility assessment, Cable stayed bridge